

Fot. 1. Widok na nawierzchnię na moście.



Fot. 2. Widok mostu z boku od strony wschodniej.



Fot. 3. Spodu ustroju nośnego.



Fot. 4. Widok przyczółka południowego.



Fot. 5. Betonowa nawierzchnia ścieżki na moście.

Widoczne zanieczyszczenia w postaci liści oraz wegetacja drobnych roślin w pobliżu balustrad.



Fot. 6. Betonowa nawierzchnia mostu na połączeniu z nawierzchnią dojazdu do mostu.

Spękania oraz ubytki nawierzchni.



Fot. 7. Nawierzchnia i balustrada w obrębie dojścia od strony parku (podpora 2).
Zanieczyszczenia i wegetacja roślin na nawierzchni w obrębie skrzydełka nad podporą



Fot. 8. Balustrada zachodnia w obrębie skrzydełka podpory od strony alejki Lipowej (podpora 1).
Wegetacja mchów na belce gzymsowej oraz zanieczyszczenia balustrady i lokalnie wykwyty korozji.



Fot. 9. Belka gzymsowa w obrębie podpory 1 po stronie wschodniej
Zanieczyszczenia, spękanie oraz wegetacja mchów i roślin pnących na gzymsie



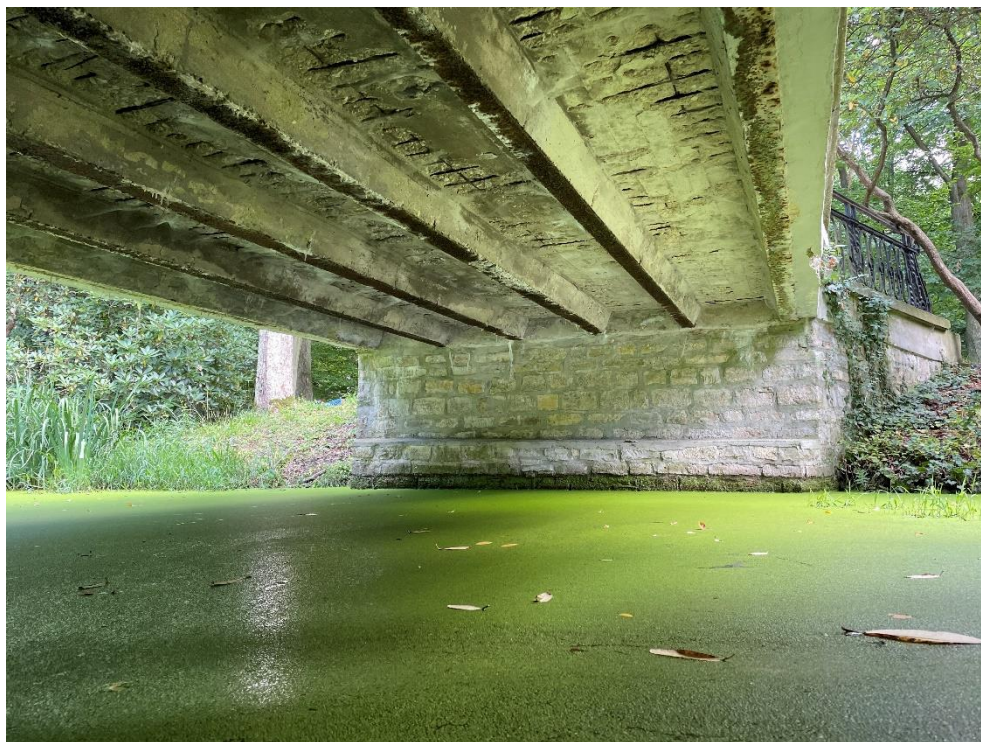
Fot. 10. Gzyms od strony wschodniej.

Zarysowania i spękania na całej długości gzymsu, lokalnie z ubytkami warstwy naprawczej oraz wegetacja mchów na górnej powierzchni gzymsu, przyczyną spękań jest brak odpowiednio przygotowanego podłoża pod warstwę naprawczą oraz utrzymująca się wilgoć absorbowana również przez wegetujące mchy – typowy widok gzymsów



Fot. 11. Gzyms od strony zachodniej w części przęsłowej

Pojedynczy obszerny ubytek warstwy naprawczej gzymsu, na pozostałej długości liczne spękania, wynikające z braku prawidłowo przygotowanego podłoża pod warstwę naprawczą



Fot. 12. Spód ustroju nośnego

Korozja powierzchniowa dźwigarów (występuje na całej powierzchni odkrytej dźwigarów) oraz rozległe ubytki otuliny i zaawansowana korozja zbrojenia (około 70% powierzchni płyty)



Fot. 13. Spód ustroju nośnego

Korozja pólki dolnej dźwigara oraz wykwyty i stalaktyty świadczące o penetracji wody i wypłukiwaniu rozpuszczalnych związków z betonu



Fot. 14. Korpus przyczółka od strony alejki Lipowej (podpora 1)

Zacieki powstałe w wyniku penetracji wody opadowej przez korpus i wypłukiwaniu rozpuszczalne składniki betonu i zaprawy – typowy widok korpusów i skrzydełek



Fot. 15. Korpus podpory od strony alejki Lipowej

Rysy o rozwarciu do 0,9 mm zazwyczaj tylko na kamiennych blokach korpusu przyczółka pod dźwigarem wynikają z przeciążenia podpór i pośrednio ze sposobu podparcia dźwigarów



Fot. 16. Skrzydełko zachodnie przyczółka 2

Wegetacja roślin pnących na skrzydełku podpory.



Fot. 17. Skarpa kanału w sąsiedztwie przyczółka od strony parku (podpora 1)

Porost roślin ozdobnych w bezpośrednim sąsiedztwie przyczółka – rośliny zacieniają, powodując utrzymywanie się wilgoci na zacienionych elementach mostu.



Fot. 18. Skarpa po stronie wschodniej przyczółka 1

Bujna wegetacja roślin w obrębie przyczółka, w tym również roślin pnących, które zakorzeniają się na konstrukcji mostu powodując zniszczenia